

Dalgalı plağın (wave plate) primer stabilitesi*

(Deneysel Çalışma)

Emre Çullu⁽¹⁾, İlhan Özkan⁽¹⁾, Sami Aksoy⁽²⁾, Bülent Alparslan⁽³⁾

Düz plak ile tesbit edilen femur cisim kırıklarında, aksiyel yüklenmelerde kemiğin iç korteksinde kompresyon, dış korteksinde ise gerilme kuvvetleri oluşur. Kırık ya da nonunionun dalgalı bir plak ile (wave plate) tesbitinde, kemiğin lateralinde de medialde olduğu gibi kompresif kuvvetlerin oluşturulabileceği açıklanmıştır. Ayrıca kemik ile plağın dalgası arasına ilave graft yerleştirilebileceği ve dalgalı plak tesbitinde nonunion bölgesinde dolaşımın daha iyi korunduğu bildirilmiştir. Oluşturulan dalga şekli ile plağın primer stabilitesi arasındaki ilişkiye incelemek amacıyla bu deneysel çalışma düzenlendi. Yirmi adet koyunun sağ ve sol femurlarında defektli kırık oluşturularak sağ tarafa dalgalı plak, sol tarafa düz plak uygulandı. On koyun femurunda yüksekliği 5 mm. olan dalga, on femurda ise yüksekliği 10 mm. olan dalga oluşturuldu. Gittikçe artan aksiyel yüklenme kuvvetlerine karşı oluşturulan tesbit sistemlerinin dirençleri incelendi. Defekt açığlığını kapatan yüklenme değerleri F1, plak vida tesbitini deformede yüklenme değerleri F2 olarak tanımlandı. Beş mm.'lik dalgalı plak ile düz plakla yapılan tesbit sistemleri arasında F1 ve F2 değerlerinde anlamlı bir fark olmadığı gözlandı. On mm. dalga oluşturulan plak tesbitinin F1 yüklenme değerlerinde daha dayanıklı olduğu, F2 değerlerinde ise dirençte sistemler arasında bir fark olmadığı saptandı. Bu deneysel çalışmada kemik diafizinin 1/3'ü kadar olan bir dalga yüksekliğinin plaka stabiliteti bozmadığı, bundan daha fazla dalga yüksekliğinde ise primer stabilitenin azaldığı görüldü.

Anahtar kelimeler: Dalgalı plak, internal fiksasyon, femur kırığı

Primary stability of wave plate (Experimental study)

Axial loading produces compression force on medial cortex and tension on lateral cortex at femoral fractures fixed by plate. The wave in the plate could have an adverse effect by increasing the moment arm, but lateral cortex would support the compressive force. Wave plate would allow grafting on lateral cortex and also preserve blood supply. This experimental study is designed to search primary stability of wave plate. Defected fractures on twenty sheep's femurs were fixed with wave plate on the right and with standard small fragment plate on the left. Five mm. wave was made on ten right femurs and ten mm. wave was made on the other ten right femurs. Accelerated axial loading was applied to all femurs and the results were recorded. Loading which closed the defect was accepted as primary loading value (F1) and also loading which deformed the plate screw complex was accepted as maximum loading value (F2). There were not any significant differences between 5 mm. wave plate and standard plate on F1 and F2. Ten mm. wave plate was less stable than standard plate on primary loading value (F1) but stable on maximum loading value (F2). We concluded that the wave plate application is stable while wave's height is 1/3 diameter of femoral shaft as standard plate. Higher waves would decrease the primary stability of the wave plate.

Keywords: Wave plate, internal fixation, femoral fracture

Femur cisim nonunionlarında, kaynamayı sağlamak ortopedik cerrahlar için halen büyük sorundur (8,11). Eşlik eden enfeksiyon ve/veya önceki cerrahi girişimler kaynamayı daha da güçleştirir. Nonunion bölgesinde bozulmuş olan endosteal dolaşımın intramedüller tesbit ile daha da bozulma olasılığı araştırmacıları çeşitli arayışlar içine sokmuştur (6). Klasik plak vida tesbitinde aksiyel yüklenmelerde kemiğin iç korteksinde kompresyon kuvvetleri dış korteksinde ise gerilme (tension) kuvvetleri oluştugu bilinmektedir. Nonunion seviyesinde dalga şekli verilmiş plakla yapılan tesbitte ise kemiğin iç ve dış kortekslerinde kompresif kuvvetlerin oluştugu saptanarak bu yöntemin biyolojik ve mekanik yönden kaynamayı olumlu etkilediği gösterilmiştir (1, 2, 8).

Kemiğin lokal kanlanmasıının korunması, plak kemik temas yüzeyinin daha az olması ve aynı zamanda dış kortekse kemik greftlerinin yerleştirilebilmesi bu yöntemin klinik uygulamalardaki başarısını artıran diğer etkenler

olarak tanımlanmıştır. Literatürde bu konu ile ilgili yazardan esinlenerek dalgalı plak ile tedavi ettiğimiz bir femur nonunion olgusunda aldığımız iyi sonuç üzerine klasik plak vida tesbitine göre, bu yöntemin biyomekanik özelliklerini ve primer stabilitesini araştırmayı amaçladık.

Gereç ve yöntem

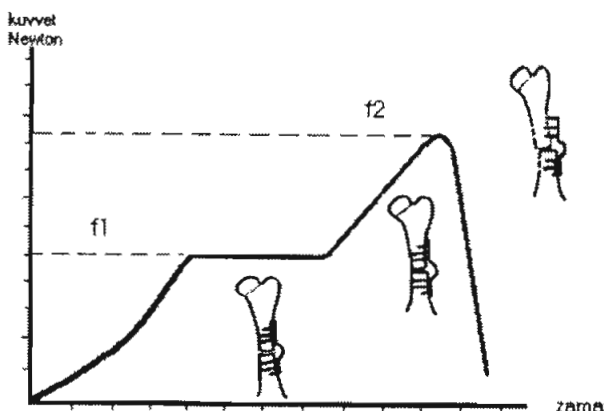
Her bir koyuna bir sayı verilerek numaralandırılan 20 çift koyun femurunun boy, çap ve ağırlıkları ölçüldü. Sağ femurlarda dalgalı plak sol femurlarda ise düz plakla tesbit yapıldıktan sonra plakların orta kısmına gelen kemik bölgesinde 5 mm'lik defekt oluşturuldu. Plak olarak 68x8x2,5 mm'lik küçük fragman plagi seçildi. Hidrolik pres ile on adet plağın orta bölgesinde 5 mm, bir diğer on plakta ise 10 mm'lik dalga oluşturuldu. Karşılaştırma grubu olarak kabul edilen 20 sol femurda ise plakta hiçbir işlem yapılmadan tesbit sağlandı. Kırıkların tümünde aynı

(1) Adnan Menderes Üniversitesi Tıp Fakültesi Ortopedi ve Travmatoloji Anabilim Dalı, Yard. Doç. Dr.

(2) Dokuz Eylül Üniversitesi, Makine Müh. Fakültesi, Biyomekanik Bilim Dalı, Prof.

(3) Adnan Menderes Üniversitesi Tıp Fakültesi Ortopedi ve Travmatoloji Anabilim Dalı, Prof. Dr.

* Bu çalışma BİOMED 5 Sempozyumunda sunulmuştur. 16-18 Aralık 1998 ODTÜ, Ankara.



Şekil 1: Defektin kapanmasına yol açan yüklenme değerleri (F1) ve plak vida tesbitini deformeden değerlerin (F2) şematik görünümü (Newton)

Plak	5mm'lik dalgalı plak (SD) n.	10mm'lik dalgalı plak (SD) n.	Düz plak (kontrol) (SD) n.
F 1	334.3 (360)	242 (56)	451.8 (90)
F 2	555.7 (360)	572.3 (173.5)	642 (325.4)

Tablo 1: Beş milimetre, 10mm dalga verilmiş ve düz olarak yerleştirilmiş plakların aksiyel yüklenmede defekt kapatan yüklenme değerleri (F1) ve plak, vida tesbitini deformeden yüklenme değerleri (F2) ve standart sapmaları (SD). Aksiyel yükler newton (n) olarak verilmiştir.

tip ve sayıda vida kullanıldı. Kemiklerde oluşan defektif kırıklar dalgalı ve düz plaklarla tesbit edildikten sonra kemikler dik pozisyonda duracak şekilde alt uçlarından poliester (Marshall Polyester 3522) gömülderek sabitlendi ve İnstro (Model 114, Dokuz Eylül Üniv. Makine Mühendisliği Fak.) cihazında aksiyel yüklenme uygulandı. Dalgalı plakların aksiyel yüklenmelerdeki direnci ve davranışları düz plaklarla karşılaştırıldı. İnstro cihazında gitikçe artan aksiyel yüklenme kuvvetlerinin, iç kısımda defektin kapanarak kemiğin temas etmesini sağladığı yüklenme değerleri F1 olarak belirlendi. Aksiyel yüklenmeye devam edilerek kemik ve plaka deformasyon oluşturan yüklenme değerleri ise F2 olarak kabul edildi (Şekil 1, 2, 3, 4). Düz ve dalgalı plakla elde edilen sonuçlar eşleştirilmiş t testi ($p<0,05$) ve Pearson korelasyon katsayısı ile değerlendirildi.

Sonuçlar

Koyun femurlarında ortalama ağırlık 108 gram (en az 81, en fazla 136 gr.), ortalama boy 159 mm. (en az 145, en fazla 175 mm.), ortalama çap 14,9 mm. (en az 13, en fazla 16,9 mm.) olarak saptanmıştır. Çalışmada kullanılan kemik çiftlerinin boy, çap ve uzunlukları ile yüklenme sonucu ulaşılan F1 ve F2 kuvvet değerleri arasında anlamlı bir ilişki bulunamamıştır.

Düz plak ile 5 milimetre dalgalı plak tesbitleri arasında yüklenmedeki F1 ve F2 değerleri arasında istatistiksel olarak anlamlı fark saptanmamıştır. Düz plak ile 10 mm. dalgalı plak arasında F1 değerlerinde $p<0,05$ düzeyinde anlamlı fark oluşmuştur. Dalgalı plak tesbiti aksiyel yüklenmelere karşı düz plağa göre daha düşük bir eğilme



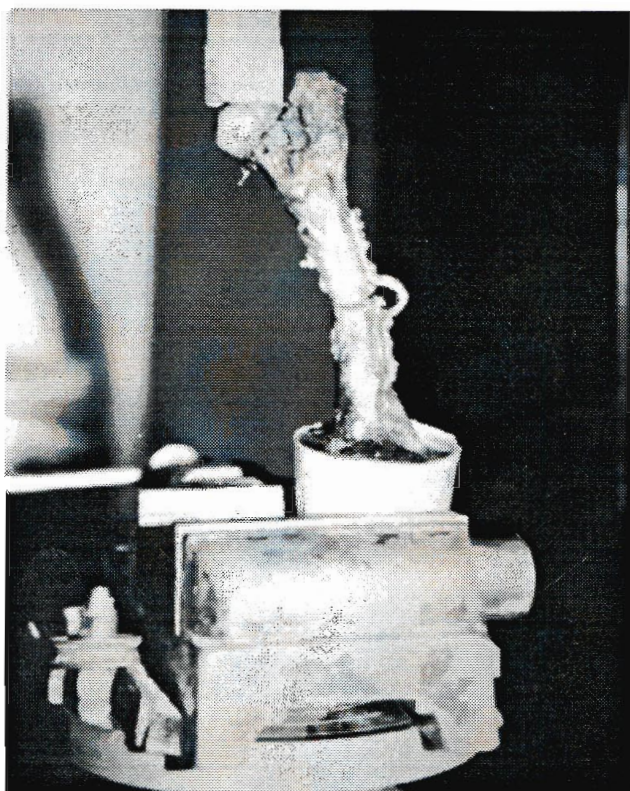
Şekil 2: 10 mm dalgalı plak vida tesbitinin aksiyel yüklenmenin başladığı andaki görünümü

direnci göstermiştir. Ancak F2 değerlerinde bu iki tesbit sistemi arasında bir fark saptanmamıştır (Tablo 1).

Tartışma

İnsanda mekanik eksen femurun medialinden geçtiğinden yüklenme sırasında oluşan eğici (bending) kuvvetler, iç kortekste kompresyona, dış kortekste ise gerilmeye yol açar. Eğici kuvvetler en çok küçük trokanerde yoğunlaşmıştır. Femur anatomik eksenile mekanik eksen arasındaki uzaklık bu bölgede en fazladır. Diz ortasında bu uzaklık sıfırın ve femurun anatomik eksenile mekanik eksen kesişir (5).

Femur kırıklarında dışa yerleştirilen plak, dıştaki gerilme ve içteki kompresyon kuvvetlerine karşı koyar. Kemik defektin nedeni ile içte yeterli destek olmadığından, sıkılık eğilme kuvvetleri metalde yorgunluk yaparak plaka kırılmaya yol açar (5). Defektif bölgede plaka dalga oluşturularak bu komplikasyonun önlenebileceği öne sürülmüştür (1, 2, 8, 11). Defektif bölgede dalgalı plağın yaptığı eğim nedeni ile eğilme moment kolu kemikten daha dışa taşıındığından, kemiğin dışından da içinde olduğu gibi kompresyon kuvvetlerinin olusacağı, gerilme kuvvetlerinin ise plağın dalgalı kısmında yer alacağı düşünülmüştür. Sıkılık yüklenmelerin düz plağa göre dalgalı plaka daha iyi dağılacığı ve metal yorgunluğunun daha geç ortaya çıkacağı bildirilmiştir.



Şekil 3: 10 mm dalgalı plak vida tesbitinde defektin kapandığı an (F1)

Weber ve Brunner 1982 yılında internal fiksasyondaki değişik yöntemlere değindikleri kitaplarında ilk kez dalgalı plak tesbitini bildirmiştirlerdir. Tibia nonunionlarında arka yüze yerleştirildikleri dalgalı plak ile gergi bandı oluşturduklarını öne sürdükleri bu yayında plagın biyomekanik etkisini açıklamışlardır (11). Magerl ve ark. (1979) erişkin femur kırıklarda plakla tesbit ettikleri olguların sonuçlarını sunmuşlardır. Bir olguda kaynama gecikmesi ve enfeksiyon nedeniyle daha fazla greft yerleştirmek amacıyla plaka curve yaptıklarını ve bu olguda başarılı sonuç aldıklarını açıklamışlardır. Bu olguda plagın biomekanik özelliğine deşinmeyen araştırmacılar rastlantı olarak bu sistemin ilk uygulayıcılarından olmuşlardır (4).

Dalgalı plagın biyomekanik özelliklerini vurgulayarak klinik uygulamaya sokan Blatter, bu yöntemi femur nonunionlarında kurtarıcı bir operasyon olarak bildirmiştir (1, 2). Ring ve ark. ise 42 kompleks femur nonunion olgusunda dalgalı plak uygulayarak başarılı sonuçlar aldıklarını açıklamışlardır (8).

Terjesen ve ark. farklı sertlik derecesindeki plaklar kullanarak kemik iyileşmesi üzerindeki etkilerini araştırmışlardır. Tavşanlarda yaptıkları bu deneysel çalışmada plakların sertliği azaldıkça kırıga binen sıklık yüklerin arttığını bunun da kallus oluşumunu artttığını açıklamışlardır (10). Tavşanlar üzerinde benzer bir çalışmada Matsushita ve Kurokawa (1998) tarafından yapılmıştır. Araştırmacılar aksiyel sıklık hareketlerin kemik iyileşmesini uyardığını bildirmiştirlerdir (3). Reimer ve ark. (1994) ve Rozburch ve ark. (1998) titanyumdan yapılan LCDCP plaklarında metalin özelliği nedeniyle daha fazla sıklık yüklenmeler olduğunu, bu nedenle de kırık hattında ç-



Şekil 4: 10 mm dalgalı plak vida tesbitinin deforme olduğu, vida tesbitlerinin bozulduğu an (F2).

lik plaklara göre daha çok kallus geliştiğini bildirmiştirlerdir (7, 9). Dalga oluşturularak yapılan plak tesbitlerinde plagiın şeklärının daha fazla sıklik yüklenmeli izin vereceği, böylece kemiğe yük bindirerek callus oluşumunu ve iyileşmeyi hızlandıracağı düşünülmüştür. Plagın dalgası ile dış korteks arasında bulunan 0,5-1 cm. açıklığa yerleştirilen kemik grefitlerinin üzerine de aksiyel kompresif güçlerin bindiğini açıklayan Ring ve ark. ayrıca dış kortekse tam oturan konvansiyonel plak tesbitlerinde kemiğe yaslanan bölgelerde görülen dolaşım bozukluğunun ve osteonekrozun dalgalı plak tesbitinde görülmeyeğini bildirmiştirlerdir (8). Femur kırıklarında kaynama üzerine olumlu biyomekanik özellikleri bildirilen dalgalı plak tesbitinde, plaga verilen dalga şeklär ile mekanik özellikler arasındaki ilişkileri gösteren bir çalışmaya literatürde rastlanmamıştır. Bu amaçla yaptığımız deneysel çalışmada kemik cisminin 1/3'ü kadar olan bir dalga yüksekliğinin plaka stabiliteti bozmadığı, dalga yüksekliğinin kemik çapının 2/3'üne ulaştığında ise primer stabilitein azalmaya başladığını görülmüştür. Ancak bu sisteme üzerinde çeşitli dalga boyalarında iç ve dış kortekste oluşan kuvvetlerin kantitatif ölçümünün yapılabileceği, daha ileri biyomekanik çalışmalarına gereksinim olduğu kanıdayız.

Kaynaklar

1. Blatter G, Weber BG: Wave plate osteosynthesis as a salvage procedure. *Arch Orthop Trauma Surg* 109 : 330-333, 1990.
2. Blatter G, Fiechter T, Magerl F: Periprosthetic fractures bei Hüfttotalendoprothesen. *Orthopäde* 18, 545-551, 1989.
3. Matsushita T, Kurokawa T: Comparison of cyclic compression, cyclic distraction and rigid fixation. *Acta Orthop Scand* 69 (1): 95-98, 1998.

4. Magerl F, Wyss A, Brunner CH, Binder W: Plate osteosynthesis of shaft fractures in adults. *Clin Orthop* 138 : 62-7, 1979.
5. Müller ME, Allgöwer M, Schneider R, Willenegger H: *Manual of internal fixation*. Heidelberg, etc; Springer Verlag, 1991.
6. O'Sullivan ME, Chao EYS, Kelly PJ: The effects of fixation on fracture-healing. Current concepts review. *J Bone Joint Surg* 71 (A) (2) 306-310, 1989.
7. Riemer BL, Foglestong ME, Miranda MA: Femoral plating. *Orthop Clin North Am* 25 (4): 625-633, 1994.
8. Ring D, Jupiter, Sanders RA ve ark.: Complex nonunion of fractures of the femoral shaft treated by wave plate osteosynthesis. *J Bone Joint Surg* 79 (B) 289-294, 1997.
9. Rozbruch SR, Müller U, Gautier E, Ganz R: The evaluation of femoral shaft plating technique. *Clin Orthop* 194: 195-208, 1998.
10. Terjesen T, Apalset K: The influence of different degrees of stiffness of fixation plates on experimental bone healing. *J Orthop* 6 (2): 293-299, 1988.
11. Weber BG, Brunner C: *Special techniques in internal fixation*. Berlin: Springer- Verlag, 1982.

Yazışma adresi:

*Yard. Doç. Dr. Emre Çullu
Efeler Mah. Atatürk Bulvarı
18. Sok. No; 25 / 2
09020 Aydin, Türkiye
E-Mail; ecullu@superonline.com*